

تعرف الوجه باستخدام الشبكات العصبية

وتقدير التقوسات¹

الدكتور حسن أبو النور³

المهندس محمد أيمن العقاد²

الملخص

نعرض في هذه الورقة طريقة لبناء شبكة ثلاثة الأبعاد في منطقة العيون وذلك بتتابع موقع الحدقة وحساب تقوس غاووس Gauss في تلك المنطقة، ثم بالاعتماد على ذلك نرسم الشبكة ثلاثة الأبعاد للوجه البشري. تساق معلومات تقوس غاووس للمناطق المحلية للصورة إلى المصنف، الذي يعطي شعاع معاملات وزن احتمال انتساب الصورة الأصلية إلى صنف محدد من العدد الكلي للأصناف المترافق عليها بواسطة النظام.

¹ أعد هذا البحث في سياق رسالة الدكتوراه للمهندس محمد أيمن العقاد بـإشراف الأستاذ الدكتور حسن أبو النور.

² طالب دكتوراه- قسم الهندسة الالكترونية- كلية الهندسة الميكانيكية و الكهربائية- جامعة دمشق.

³ أستاذ- قسم الهندسة الالكترونية- كلية الهندسة الميكانيكية و الكهربائية- جامعة دمشق.

1. مقدمة

تدرج معالجة الصور والتعرف، ومنها التعرف على الأشخاص من خلال المميزات الهندسية للوجه، ضمن التطبيقات الرئيسية لأنظمة الشبكات العصبية وخاصة في:

- استخلاص الخصائص المميزة للصورة وتوصيفها.
- تصنيف الصور أو الخصائص المستخلصة منها.

وتشتمل تقنية الشبكات العصبية في خوارزميات تحليل الخصائص المميزة للصورة، حيث تتتألف الشبكة العصبية من مجموعة العصبونات المتصلة مع بعضها إذ إن كل عصبون يستطيع معالجة مجموعة إشارات مطبقة على مدخله ويحولها إلى مجموعة إشارات خرج ذات خصائص محددة. كما تؤدي الروابط بين العصبونات المرمزة بمعاملات الوزن weights الدور الأساسي في عمل هذه الشبكات، حيث تملك الشبكات العصبية في هذه الحالة إمكانية تعليم جيدة لأنها تستطيع توزيع خبرة التعلم الناجحة عن كل عصبون إلى كامل عناصر الشبكة.

باعتبار أن استخلاص الخصائص الأساسية التي تميز الصورة المرئية يعدّ أمراً أساسياً فإن تحديد القيم النسبية لهذه الخصائص يتم باختيار معاملات وزن الروابط بين العصبونات والأخذ بالحسبان العلاقات المتبدلة فيما بينها.

تتكون إجراءات التعرف عادة من ثلاثة مراحل:

- مرحلة قراءة ومعالجة أولية للصورة (رصف الموقع Location alignment تجزيء Segmentation، إزالة الضجيج، وتحسينات إضافية أخرى).
- مرحلة توصيف الصورة (استخلاص الخصائص المميزة للصورة في ضوء نماذج مخزنة، مثل نماذج لانحناء السطوح).
- مرحلة تصنيف باستخدام خوارزميات الشبكات العصبية (حيث يتم تحليل الخصائص المستخلصة واتخاذ قرار التعرف النهائي).

1.1. استعراض طرق الشبكات العصبية

في البداية اعتمدت طرق الشبكات العصبية على خارطة Kohonen المشتركة [3]، واستخدمت عدداً قليلاً من صور الوجوه، وتم من خلالها الإعلان عن تعرف دقيق حتى بحالة صور دخل مضجعة ومشوهة. ولقد تم أيضاً إظهار هذه الإمكانيّة باستخدام العتاد الضوئي optical hardware [4]. لاحقاً لذلك تم استخدام الشبكات العصبية ضمن طريقة من أجل تصنّيف الأشخاص وفقاً لجنسهم gender [5]، والتي استخرجت آلياً شعاع خصائص ذا 16 بعداً مثل ثخانة الحاجبين، عرض الأنف والفم، وستة معايير للنّقْن chin radii، الخ. تم تدريب شبكة تابع فوقi Hyper Basis Function (HyperBF) [6] واحدة لكل جنس. تم تقدير صور الدخل بالنسبة للتدریج scale والدوران باستخدام موقع العيون، والتي حددت آلياً. بعد مقارنة مخارج الشبكتين HyperBF، تحدد الشبكة ذات الخرج الأكبر دليلاً الجنس gender label في الصورة المختبرة. تم في تجارب التصنيف الفعلية استخدام مجموعة جزئية فقط من شعاع الخصائص ذي الـ 16 بعداً. تألفت قاعدة المعطيات من 21 ذكرًا و 21 أنثى. من أجل التصنّيف تم استخدام استراتيجية "ترك واحد في الخارج" leave-one-out [2]. عندما استخدم شعاع الخصائص من مجموعة التدریج كشعاع اختبار، تم الإعلان عن دقة تعرف صحيح قيمتها 92.5%، وانخفضت الدقة إلى 87.5% من أجل وجوه ليست في مجموعة التدریج. تم إثبات صحة بعض نتائج التصنيف الآلي من خلال استخدام التعرف الإنساني using validation humans.

تم توسيع طريقة التصنّيف وفقاً للجنس إلى تعرف الوجه باستخدام شعاع خصائص موسع ذي 35 بعداً وشبكة HyperBF لكل شخص. المسوغ للبنية التحتية underlying structure هو مفهوم العصبون الجد neuron grandmother وهو

عصبون مفرد (تابع غاوص في الشبكة HyperBF) لكل شخص. ولوجود صور تدريب قليلة نسبياً لكل شخص، تم توليد قاعدة معطيات تركيبية synthetic database بواسطة التأثير في متوسط أشعة الخصائص لصور الأشخاص المتوفرة وهذه الصور استخدمت كعينات اختبار.

تم الحصول على نتائج التصنيف من أجل مجموعات مختلفة من معاملات التوليف (مكافئات coefficients، مراكز centers ومقاييس metrics ال HyperBF). تم أيضاً تقديم بعض المشاركة في شرح التصرف الكاريكاتيري caricatural behavior لشبكات HyperBF من قبل الدراسات النفس بدنية psychophysical.

بنيت الطرق [7] و [8] على بنية الرابطة الديناميكية Dynamic Link Architecture (DLA)، في محاولة لحل المشكلة الأساسية لتعبير العلاقات السيناتكية¹ في الشبكات العصبية التقليدية. استخدمت في هاتين الطريقتين موجات Gabor wavelets للخصائص. تستخدم بنى الروابط الديناميكية اليونة غير syntactical ضمن مخططات بنوية والحفاظ على ميزات الأنظمة العصبية. من الضروري للطرق التي تستخدم بنى الروابط الديناميكية توافر حيز صور وحيز نماذج. يماش حيز الصور مناطق الرؤية اللحائية و حيز النماذج يماش اللحاء الزمني البيني في نظام الرؤية الأحيائي. تم مؤخراً توسيع بنى الروابط الديناميكية إلى ما يدعى مطابقة

¹ سيناتككي: عائد إلى قواعد تركيب الأشياء في أشكالها الصحيحة ضمن إطارها العام.

² سينابتيكي: عائد إلى تغير قوة الإشارة عبر نقاط الاستباق العصبي التي تربط الخلايا العصبية بعضها.

المخطط لين الحزمة [9,10] (EBGM) Elastic Bunch Graph Matching، وهي مماثلة للطريقة الموصوفة أعلاه ولكن بربط مجموعة أنابيب jets لكل عقدة بدلاً من واحد، كل أنبوب مستربط من صورة وجهية مختلفة. للتصدي لمشكلة تغير الوضعية pose variation، يتم أولاً تحديد وضعية الوجه باستخدام معلومات مسبقة [1] ويتم تعلم تحولات transformations sets بالنسبة لتغيرات الوضعية [11].

2. التوصيف

إن عملية التوصيف يجب أن تتضمن أكبر عدد ممكن من الخصائص المميزة لصورة وجه شخص عن الآخر، وتعتمد الخوارزمية العامة للتوصيف عند بناء شبكة كثيرة الأضلاع في منطقة العيون وفق الشكل 1 على العمليات الآتية:

آ – اكتشاف حدقتي العينين ورسم الشبكة بالنسبة لهما.

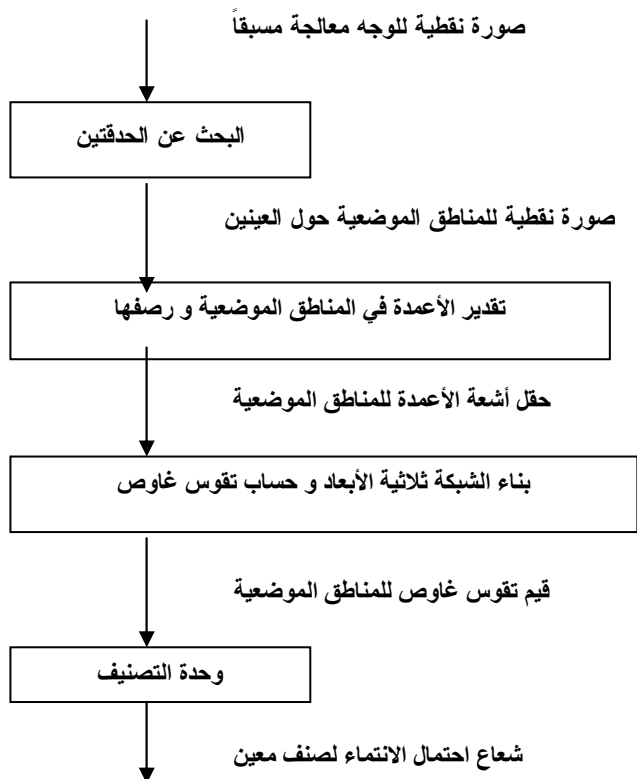
ب – حساب تقوس غاوص في هذه المنطقة.

معطيات الدخل لهذه الشبكة: خرج وحدة القراءة والمعالجة الأولية.

معطيات الخرج لهذه الشبكة: قيم تقوس غاوص لمناطق الوضعية local regions حول العينين.

إن مصفوفة العين اليسرى بحجم 7×5 وعنصرها $R_{ij} \in R$ حيث

$$j \in [1, 7] \text{ و } i \in [1, 5]$$



1.2. البحث عن الحدتين (تمرکز العینین)

إن العينين هما العنصران الأساسيان في الوجه اللذان يسهمان في التعرف الآلي على الوجه وذلك لأن المسافة بين الحدتين لا تتغير مع تغيير تعابير الوجه في حال النظر

إلى مسافة بعيدة نسبياً. ومن ثمَّ فيمكن عملياً استخدام هذه المسافة لتحديد بقية موقع عناصر الوجه الأخرى.

إن متطلبات قياس المسافة بين الحدقتين تفرض دقة قياس عالية لموقع الحدقتين. لهذا السبب تم بناء خوارزمية خاصة تعتمد على إيجاد زوج من النهايات الصغرى المحلية مع إمكانية استخدام طرائق مقارنة النماذج.
معطيات الدخل: صورة نقطية معالجة.

مصفوفة الصورة النقطية المعالجة ذات حجم $E_{ij} \in Z^+$, عناصرها $W \times H$, حيث $W=H=200$ و $W, H \in Z^+$ و $j \in [1, W]$ و $I \in [1, H]$

معطيات الخرج: صور نقطية للمناطق الموضعية حول العينين. مصفوفة العين اليسرى بحجم 70×50 وعناصرها $L_{ij} \in Z^+$ حيث $i \in [1, 50]$ و $j \in [1, 70]$.
يبين الشكل 2 صورة أصلية، الصورة النقطية بمصفوفة 200×200 المولدة من النظام، و استخدام نافذة 70×50 حول منطقة العين اليسرى.

الخوارزمية المنفذة:

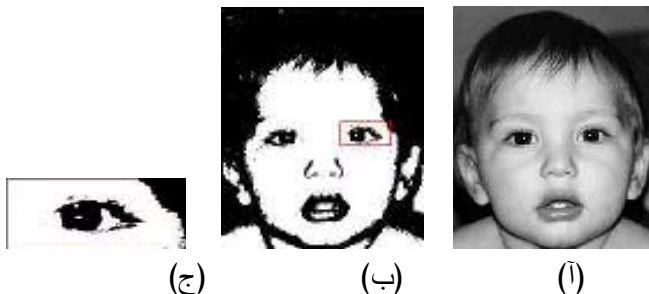
تتضمن هذه الخوارزمية مرحلتين:

آ. ترشيح العتبة: يبني تحديد موقع الحدقتين على فرضية أن الحدقة عموماً هي قرص معتم مع حافات محيطة مضيئة. تجزأ صورة الوجه بعتبة منخفضة جداً لعزل 5% من النقاط الأكثر تعثراً [13,14]. يمكن أن تتبع هذه النقاط إلى الحدقتين كما هو مبين في الشكل 2.

تحسب العتبة كما يأتي: $T = \frac{\sum_{i=1}^H \sum_{j=1}^W E_{ij}}{H * W * 3}$ حيث E_{ij} هو سطوع النقطة ذات الموضع (i, j) ، ثم ننشئ صورة نقطية مرشحة ثنائية التدرج:

$$E_{ij} = 0 \quad \text{إذا كانت } T < E_{ij} \quad \text{إلا}$$

$$E_{ij} = 1 \quad \text{وإلا}$$



الشكل 2: آ- صورة أصلية من قاعدة المعطيات، ب- الصورة النقطية 200×200 المولدة من النظام، و النافذة 50×70 حول منطقة العين اليسرى، و ج- قرص الحدقة المرشح للعين اليسرى.

ب. مقارنة النموذج: تتم مقارنة النموذج template مع العين اليسرى ويكرر الإجراء نفسه بالنسبة للعين اليمنى.

إن الترابط Correlation بين نقاط D_{ij} ونقاط الصورة المرشحة F_{ij} هو عدد النقاط المتطابقة الذي يحسب كما يأتي [20]:

$$C = \sum_{i,j \in w} F_{ij} \Big|_{F_{ij} = D_{ij} = 0}$$

حيث w النافذة اليمنى أو اليسرى للحدقتين
وحيث D_{ij} توصف كما يأتي:

$$D_{ij=0} \quad (i-x_0)^2 + (j-y_0)^2 < r^2 \quad \text{إذا}$$

$$D_{ij=1} \quad \text{وإلا}$$

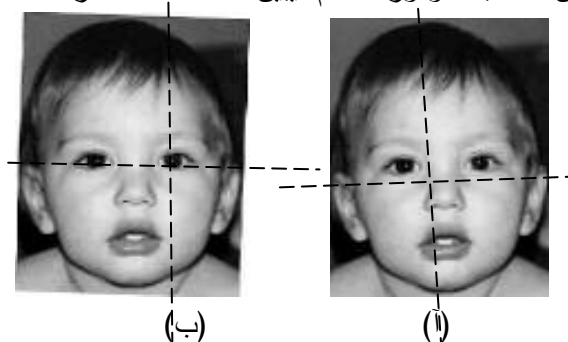
ونظراً لأن الدائرة ذات المركز (x_0, y_0) ونصف القطر r توصف كما يأتي:

$$x_0 \in (20+r, W/2) \quad \text{للعين اليمنى} \quad x_0 \in (W/2, W-(20+r)) \quad \text{للعين اليسرى} \\ r \in [8, 12] \quad \text{و} \quad y_0 \in (20+r, H/2-r)$$

من قيم x_0, y_0 و r بالإضافة إلى القيمة العظمى للترابط C_{max} نتوصل إلى تحديد مركزى الحدقتين الافتراضيين x_h, y_h وتكون المصفوفة الناتجة $L_{i,j} = E_{i,j}$ حيث $j \in [y_h-35, y_h+35]$ و $i \in [x_h-25, x_h+25]$

2.2. رصف صورة الوجه:

نرسم في البداية خطأً بين مركزي العينين (ال نقطتين البيضاء داخل البؤبين) ندعوه خط مركزي العينين و نرسم خطأً عامودياً عليه يمر عبر رأس الأنف ندعوه خط عامود الوجه. من ثم نرصف align صورة الوجه وفقاً لخط مركزي العينين بتدوير نافذة الوجه بمقدار الزاوية بين الخط الأفقي و خط مركزي العينين، بحيث يصبح خط مركزي العينين متطابقاً مع المحور x . يوحـد هذا الرصف انتـهـاء الـوـجـهـ بـيـنـ جـمـيـعـ الصـورـ وـيـخـفـضـ الـحـسـابـاتـ وـدـوـرـةـ التـعـلـمـ. يـبـيـنـ الشـكـلـ 3ـ مـثـالـاـ لـرـصـفـ صـورـةـ.



الشكل 3: (أ) صورة عليها خطوط الرصف الرئيسية، (ب) الصورة المرصوفة بالدوران بمقدار 2 درجة.

يمكن الاعتماد على النقطتين البيضاء داخل البؤبين في كثير من الأحوال وخاصة في حال الإضاءة المباشرة، وللحصول على عمومية أكثر يمكن تحديد مركزي القرصين السوداويين الممتدين للبؤبين حسابياً.

3.2. رسم الشبكة كثيرة الأضلاع:

يتم من أجل رسم الشبكة كثيرة الأضلاع تحقيق ما يلي:

- حساب أشعة الأعمدة normals على السطوح في صورة الوجه باستخدام طريقة هورن Horn التكرارية [12,13,14].

- حساب عمق الشبكة Z بناءً على أشعة الأعمدة.

1.3.2. التحديد التكراري للأعمدة (إيجاد أشعة الأعمدة ورصفها)

تناسب هذه الطريقة السطوح الناثرة للضوء بشكل انتشاري والتي لها قابلية العكس نفسها أو الامتصاص (albedo) على كامل المساحة (حسب لامبرت Lambert) وبجهة منبع إضاءة معروفة. كما أن إعادة بناء الشكل من الصورة ستتم من أجل صور مضجة (حقيقية).

معطيات الدخل: صور نقطية للمناطق الموضعية حول العينين.

مصفوفة العين اليسرى بحجم 50×70 وعناصرها $L_{ij} \in Z^+$ حيث $i \in [1, 50]$ و $j \in [1, 70]$.

معطيات الخرج: حقل أشعة الأعمدة للمناطق الموضعية حول العينين.

المصفوفة للعين اليسرى بحجم 50×70 وعناصرها $N_{ij} \in L$ حيث $[1, 50] \times [1, 70]$ هي الفضاء ثلاثي الأبعاد.

الخوارزمية: نستخدم في هذه الطريقة نظام معادلات تكرارياً لحساب أشعة الأعمدة في كل نقطة من الصورة باستخدام قيم سطوع معروفة:

$$m_{ij}^{k+1} = \bar{n}_{ij}^k + e^2 (E_{ij} - n_{ij}^k \cdot s) s / 4\lambda$$

$$n_{ij}^{k+1} = m_{ij}^{k+1} / |m_{ij}^{k+1}|$$

حيث m_{ij}^{k+1} شعاع العمود في النقطة j, i عند التكرار $k+1$

n_{ij}^k شعاع العمود المقيس في النقطة j, i عند التكرار k

n_{ij}^{k+1} شعاع العمود المقيس في النقطة j, i عند التكرار $k+1$

S شعاع منبع الضوء ويساوي $(1, 0.001, 0.001)^T$

E_{ij} شدة سطوع الصورة في النقطة i,j

e المسافة بين خلايا متجاورة في الصورة

\bar{e} معامل طاقة تعديل العامود

العامود الوسطي المحلي في النقطة i,j :

$$\bar{n}_{ij} = \frac{1}{4} (n_{i,j+1} + n_{i,j-1} + n_{i+1,j} + n_{i-1,j})$$

نحسب أشعة الأعمدة لكل نقطة من صورة العين اليسرى حيث القيمة الابتدائية لأشعة الأعمدة $(0, 0, 1)$. وقد أثبتت التجارب بالنسبة لأغراضنا أن أربعة تكرارات كافية أي $k \in [0, 3]$

بعد استكمال دورات التكرار نقوم برصف الأعمدة، ونوجد العامود الوسطي كما يأتي:

$$n_{i/2,j/2}^{(3)} = (0, 0, 1)^T \text{ حيث } n_{avg} = n_{i/2,j/2}^{(3)}$$

كما أن أي عامود في الصورة سيكون:

2.3.2. تحديد تقوس السطح (بناء الشبكة ثلاثية الأبعاد، وحساب الزوايا والتقوس)

إذا حدد السطح بالمعادلة $z=f(x,y)$ فإن R_1 و R_2 هما نصفا القطرين الأساسيين

للتقوس ويحسبان كجذور لمعادلات تربيعية [21]

$$(rt - s^2) R^2 + h [2pq - (1+p^2)t - (1+q^2)r] R + h^2 = 0$$

$p = dz/dx, q = dz/dy, r = d^2z/dx^2, s = d^2z/dxdy, t = d^2z/dy^2$ حيث

$$h = \sqrt{1 + p^2 + q^2}$$

وباعتبار أن التقوس الوسطي للسطح في نقطة هو

$$H = \frac{1}{2} (1/R_1 + 1/R_2)$$

وأن تقوس غاوتش هو

(من أجل اسطوانة بنصف قطر a يكون $\frac{1}{2a} = K$ و أن $0 < K$ من أجل نقاط

قطع ناقص ومن أجل نقاط قطع زائد $0 < K$ و من أجل نقاط قطع مكافئ $K = 0$

فإذا حدد السطح بالمعادلة $z = f(x,y)$ فإن H و K يحسبان وفقاً للمعادلات الآتية:

$$H = r(I + q^2) - 2pq s + t(I + p^2) / 2(I + p^2 + q^2)^{3/2}$$

$$K = r t - s^2 / (I + p^2 + q^2)^2$$

المطلوب الآن حساب المشتقات p, q, r, s, t ونقترح لذلك استخدام تقرير منفصل final discrete approximation differences [22]، ومن ثم تحويلتابع عمق الشبكة Z net depth function إلى Z surface differences تابع سطح مستمر z . تحدد Z بشكل منفصل على كامل مجال السطح بالخطوة الواحدة للشبكة unit net step. كما نقترح استخدام تقرير منفصل من أجل p و q :

$$P = dz/dx = Z_{x,y} - Z_{x-1,y}$$

$$q = dz/dy = Z_{x,y} - Z_{x,y-1}$$

بدلاً من مشتقات يسارية الفرق left difference derivatives نستخدم مشتقات مركزية الفرق central difference derivatives ونحصل في أثناء التقرير الخطى للسطح الموصوف بخارطة الأعماق Z على نموذج من النوع المتعارض cross type:

$$P = dz/dx = Z_{x+1,y} - Z_{x-1,y} / 2$$

$$q = dz/dy = Z_{x,y+1} - Z_{x,y-1} / 2$$

الآن وباستخدام قيم المشتقات الجزئية الأولى سنستنتج معادلات حساب المشتقات الجزئية الثانية

$$r = d^2z/dx^2 = p_{x+1,y} - p_{x-1,y} / 2 = Z_{x+2,y} - Z_{x,y} / 4 - Z_{x,y} - Z_{x-2,y} / 4$$

$$s = d^2z/dxdy = p_{x+1,y} - p_{x,y-1} / 2 = Z_{x+2,y} - Z_{x,y} / 4 - Z_{x,y} - Z_{x,y-2} / 4$$

$$t = d^2z/dy^2 = p_{x,y+1} - p_{x,y-1} / 2 = Z_{x,y+2} - Z_{x,y} / 4 - Z_{x,y} - Z_{x,y-2} / 4$$

وبحساب قيم p, q, r, s, t من الممكن حساب H و K في كل نقطة من نقاط الصورة.

معطيات الدخل: حقل أشعة الأعمدة للمناطق الموضعية حول العينين.

المصفوفة للعين اليسرى بحجم 70×50 وعناصرها $N_{ij} \in L$ حيث $i \in [1, 50]$ و $j \in [1, 70]$ هي الفضاء ثلاثي الأبعاد.

معطيات الخرج: قيم تقوس غاوص للمناطق الموضعية حول العينين.

المصفوفة للعين اليسرى بحجم 7×5 وعناصرها $K_{ij} \in R$ حيث $i \in [1, 5]$ و $j \in [1, 7]$.

الخوارزمية: تبني الشبكة ثلاثية الأبعاد (خارطة الأعماق) بحساب الإحداثي z في كل نقطة

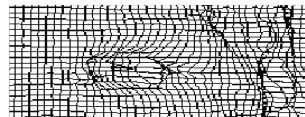
$$N_{ij} = \{LEN_x, LEN_y, LEN_z\} . Z_{ij} \in R$$

$$z_0 = LEN_{z11}$$

$$Z_{ij} = LEN_{zij} + z_0$$

$$z_0 = LEN_{zij}$$

كما هو مبين في الشكل 4 الشبكة ثلاثية الأبعاد للمناطق المحلية حول العين اليسرى.



الشكل 4: الشبكة ثلاثية الأبعاد للعين اليسرى.

3. وحدة المصنف

معطيات الدخل: قيم تقوس غاوص للمناطق الموضعية حول العينين.

المصفوفة للعين اليسرى بحجم 7×5 وعناصرها $K_{ij} \in R$ حيث $i \in [1, 5]$ و $j \in [1, 7]$.

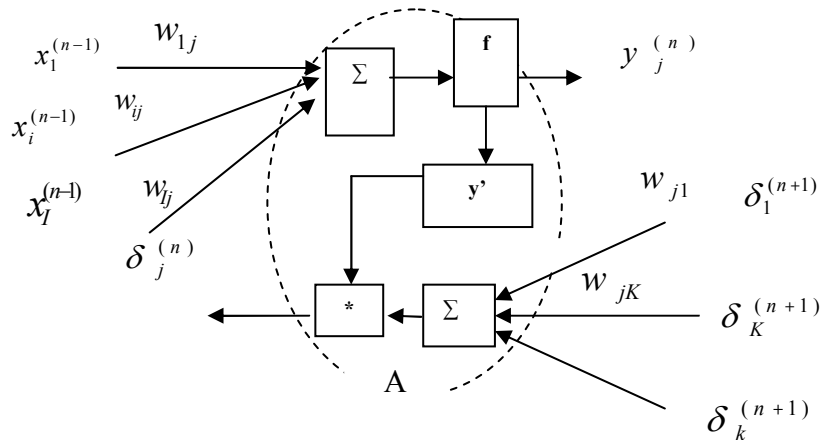
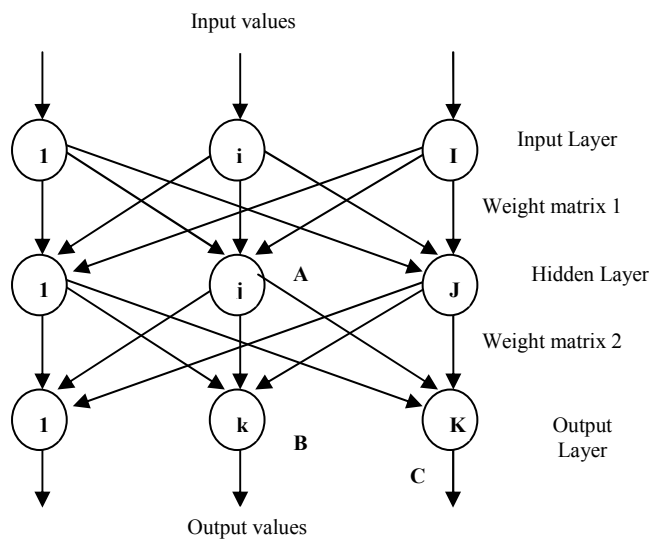
معطيات الخرج:

شعاع صاف معاملات الوزن لاحتمال انتقاء الصورة الأصلية لصنف معين ذي بعد $N \in Class Amount$ ، من العدد الكلي للأصناف المترافق عليها بواسطة النظام.

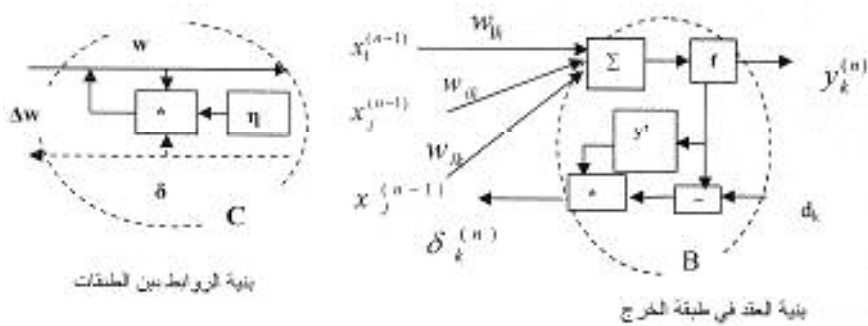
$$ca \in [1, Class\ Amount] \text{ حيث } Output_{ca} \in R$$

تذهب هنا معطيات تقوس غاوص للمناطق المحلية للصورة إلى المصنف. المصنف هو نموذج حسابي يستخدم الشبكات العصبية الصناعية المؤلفة من عناصر بسيطة (الخلايا العصبية) وروابط بين مخارجها (نقاط الاشتباك العصبي). ونظراً لأنَّ الشبكات العصبية الصناعية مستقرة تجاه تحويل الإحداثيات والضجيج فقد تم تحقيق المصنف على أساس توزع البرسيترون perceptron متعددة الطبقات [15,16,17]. المدخل عددها $k_0 = 35$ و الخلايا العصبية $k_1 = 70$ ضمن طبقة مخفية واحدة ويتطابق عدد الخلايا العصبية في طبقة الخرج مع عدد الأصناف المطلوب التعرف عليها.

إن التعلم يتم باستخدام طريقة التوزيع العكسي للخطأ reverse error distribution [23]. وكتابع تخفيض (رمزي المنطق reducing function) يؤخذ منحنى logistic (sigmoid) $y_j^{(n)} = \frac{1}{1 + e^{-s_j^{(n)}}}$ بشكل حرف C إن بنية البرسيترون متعدد الطبقات و مخطط الجريان ضمن الشبكة في أثناء التعلم باستخدام طريقة التوزيع العكسي للخطأ مبينة في الشكل 5.



بنية العقد في الطبقة المخفية



الشكل 5: بنية البرسبترون متعدد الطبقات و مخطط الجريان ضمن الشبكة أثناء التعلم باستخدام طريقة التوزيع العكسي للخطأ.

1.3. خوارزمية تعلم الشبكة العصبية: بالاستعانة بإجرائية التوزيع العكسي يتم بناء الخوارزمية كما يأتي:

أ. نرسل الصورة إلى مدخل الشبكة ونحسب قيم المخارج:

$$y_j^{(n)} \text{ و } S_j^{(n)} = \sum_{i=0}^M y_i^{(n-1)} \cdot W_{ij}^{(n)}$$

$$y_j^{(n-1)} = x_{ij}^{(n)}$$

$$y_j^{(n)} = f(S_j^{(n)})$$

$$y_j^{(0)} = I_q$$

$$q \in [1, 35] \text{ لعين اليسرى و } y_q^{(0)} = K_{m,n}$$

حيث $j = 35, 70$, Class : $n = 1, 2$ و كمية العصبونات في الطبقة n : $Amount$

حساب $\delta^{(N)}$ و $\delta^{(2)}$ لطبقة الخرج:

$$\delta_l^{(N)} = (y_i^{(N)} - d_l) \cdot \frac{dy_l}{ds_l}$$

$$l \in [I, k_2], \quad \frac{dy_l}{ds_l} = dy_l(1 - dy_l) \quad \text{حيث } \delta_l^{(2)} = (y_i^{(2)} - d_l) \cdot y_l(1 - y_l)$$

إذا كان العصبون على الخرج يتطابق مع صنف معين فإن $I = dl$

إذا كان العصبون على الخرج لا يتطابق مع صنف معين فإن $dl = 0$

$$\Delta w_{ij}^{(N)} = -\eta \cdot \delta_j^{(N)} \cdot y_i^{N-1} \quad \text{لحساب الأوزان و } w^{(N)} \text{ طبقة:}$$

$$\Delta w_{ij}^{(2)} = -\eta \cdot \delta_j^{(2)} \cdot y_i^{(1)} \quad \text{لحساب الأوزان و } w^{(2)} \text{ طبقة:}$$

$$\text{حيث } i \in [I, k_2], j \in [I, k_1]$$

حساب الأوزان $\Delta w^{(2)}$ و $\delta^{(2)}$ من أجل كل الطبقات المتبقية:

$$\delta_j^{(n)} = [\sum_k \delta_k^{(n+1)} \cdot w_{jk}^{(n+1)}] \cdot \frac{dy_j}{ds_j}$$

$$\delta_j^{(n)} = [\sum_k \delta_k^{(n+1)} \cdot w_{jk}^{(n+1)}] \cdot y_j(1 - y_j)$$

$$\Delta w_{ij}^{(n)} = -\eta \cdot \delta_j^{(n)} \cdot y_i^{(n-1)}$$

تصحيح كل الأوزان في الشبكة العصبية:

$$w_{ij}^{(n)}(t) = w_{ij}^{(n)}(t-1) + \Delta w_{ij}^{(n)}(t)$$

حيث t دورة التعلم $t \in [I, 500]$ époque

تنفذ في عملية التعرف الخطوة آ وتعطي النتيجة: $Output_{ca} = y_{ca}^{(2)}$

إذا كان الخطأ جوهرياً فيتم تكرار الذهاب إلى الخطوة آ وإلا يتم إنهاء الحلقة. إن الشبكة تمر بالخطوة آ على كل الصور التدريبية، والخرج هو رقم الانتساب لنوع

حيث النتيجة تعطى كما ما يأتي:

[عدد الأنواع, $A \in [I, A]$]

2.3. تقارب الشبكة العصبية:

تتعلق بالتعلم مسألة مهمة هي مشكلة تقارب الخطأ أي تخفيض الخطأ بين قيم الوحدات المرغوب فيها والمحسوبة منها. الهدف هو تحديد مجموعة الأوزان التي تخفض الخطأ.

شبكات البريبتون العصبية متعدد الطبقات معروفة بامتلاكها معدل تقارب أبطأ من المرغوب فيه وما يقود إلى أزمان تدريب طويلة.

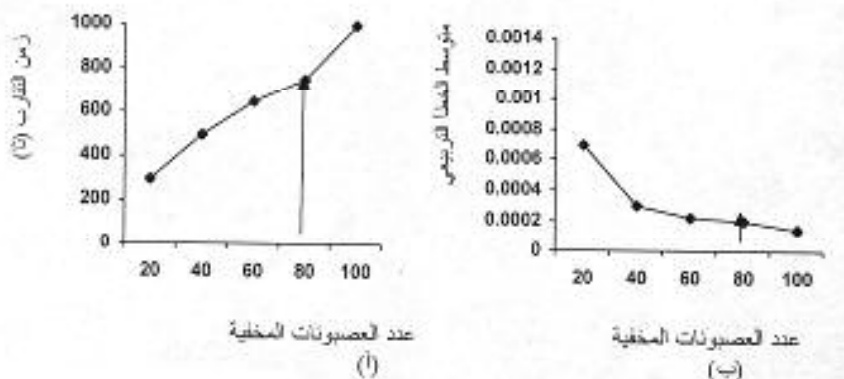
يتبع فشل التقارب لبنيّة شبكة عصبية غير صحيحة مع طبقات أوزان إما قليلة جداً أو كثيرة جداً، أو وجود عصبونات مخفية قليلة جداً. وعادةً لا يتم التقارب بسبب تشبع بعض العصبونات قبل غيرها. يحدث التشبع إذا دفع الخرج نحو قيمته العظمى عند نقطة معينة قبل الوصول إلى التقارب، ومن ثمَّ المشتق صغير جداً من أجل القيام بتغيرات وزن ذات قيمة، دافعاً الشبكة للاستقرار عند قيمة محلية صغرى غير صحيحة أو بلوغ حالة من الشلل. تتحدد تغيرات الوزن من أجل كل عصبون بواسطة ضرب معدل التعلم (ثابت لكامل الشبكة) بحد الخطأ (ثابت لكل عصبون عند أي عبور) والمدخل المعنية [24,25].

ولدراسة تقارب الشبكة وسلوكها في أثناء التدريب وكفاءة التعميم فيها، نقوم بتغيير المحددات بشكل محكم بحيث نغير أحد المحددات ونثبت البقية كل على حدة، ونحسب الخطأ، من ثم نختار قيم المحددات التي تعطي قيمة خطأ و زمن تقارب منخفضين نسبياً وفقاً لمبدأ المقايسة بين الاثنين. وبعد دراسة التقارب آخذين تجنب حدوث الإشاع بالحساب حصلنا على أفضل النتائج بعد أن قمنا بما يأتي:

1. خفضنا مجال الوزن الابتدائي عندما ازداد عدد مدخل العصبون.
2. استخدمنا عدداً كافياً من الخانات الثانية من أجل التغيرات في الوزن.
3. أبقينا معدل التعلم أصغر ما يمكن.

4. زدنا بشكل وسطي عدد المرات التي يتم فيها تمثيل نماذج محددة لكل دور وبحيث يتم تمثيل كل الأصناف بالشكل المناسب.

5. توقفنا عن التدريب لدى بلوغ جميع مخارج الشبكة حالتها النهائية المطلوبة لجميع النماذج ضمن تسامح محدد.



الشكل 7: آ- أزمان التقارب لنظام تعرف الوجه، ب- متوسط الخطأ التربيعي نسبةً لعدد العقد المخفية.

حيث لاحظنا بالنسبة لأغراضنا أن أفضل قيمة لعدد العصبونات المخفية هي 70 عند عدد مدخل قيمته 35.

3.3. قاعدة المعطيات:

إن قاعدة معطيات تدريب الشبكة العصبية عبارة عن قاعدة معطيات غرضية التوجّه تتّلّف بالأساس من 216 صورة، حيث توجد صورة واحدة لكلّ شخص في أثناء التعرّف. إنّ صور الوجوه عبارة عن أصناف أساسية والتي تتّلّف من أصناف فرعية والتي هي فعلياً عناصر الوجه. يتم توليد عدة صور لكلّ شخص بواسطة عملية تركيب من الصور الأساسية [13] في أثناء التدريب وبنمط واحد - لأكثر.

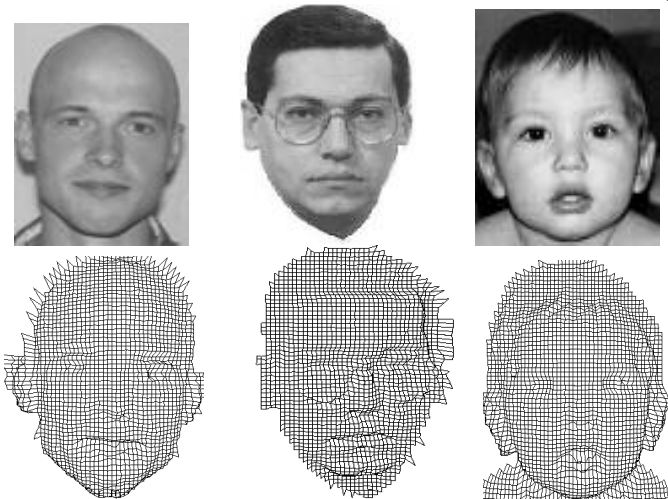
4. النتائج التجريبية:

في البداية لاختبار نظمنا أجرينا التجربة الآتية: تضمنت مجموعة صور الاختبار 15 صورة وجه، عولجت معالجة أولية وخفضت إلى قياس 200x200 بيكسل و 16 مليون تدرج رمادي، العينات موضحة على الشكل 6. الصور في شروط أخذ مختلفة، زوايا استدارة وجه مختلفة، شروط إضاءة، وتعابير وجه.

في البداية في بعض العينات، لم يعثر على الحدقتين، وفي عينات أخرى لم يكن تحديد الحدقتين صحيحاً تماماً، لعل ذلك بسبب الإضاءة غير المنتظمة، مما قادنا إلى تسوية النصوع في عينات الصور وتدرج الصور إلى القياس نفسه.

بعد عملية المعالجة الأولية لاحظنا تحسيناً ملحوظاً في تحديد الحدقتين ومن ثم في الأداء الكلي للنظام.

بيّنت النتائج أنَّ نظمنا واعد، ويقود إلى نتائج مرضية في التعرف على الوجه كما هو موضح في الشكل 6.



الشكل 6: بعض العينات من الشبكات ثلاثية الأبعاد المبنية بواسطة النظام.

5. خاتمة

بينما طريقة للتعرف على الأشخاص من صورة الوجه على أساس الشبكات العصبية
حيث تم تناول ما يأتي:

- خوارزمية البحث عن الحديتين.
- تعين التقوس التوسيطي و الغاوصي.
- تصنيف الصور على أساس توزع الشبكات العصبية متعددة الطبقات
(البرسبترون).

تتميز الشبكات العصبية بآليات التعلم الشمولية وقدرة كل عناصرها بالعمل على
التفرع مما يزيد الكفاءة في حل المهمة بالمقارنة مع الطرائق الأخرى مثل الطرائق
الاحتمالية، الفرز الخطي، شجرات الحسم، الخ.

1.5. مقارنة مع الطرائق الأخرى:

عادة طرائق NN مخصصة إما لتطبيقات الزمن الحقيقي [19] أو تطبيقات في غير
الزمن الحقيقي [18]. تستخدم أيضاً طرائق الـ NN أكثر من صورة في قاعدة
المعطيات لكل شخص [15]. طريقتنا جيدة لكل من تطبيقات الزمن الحقيقي و غير
الزمن الحقيقي، ولا تحتاج إلى أكثر من صورة واحدة لكل شخص. هذا يستهلك حيز
تخزين أقل في نظام قاعدة المعطيات، و يجعل طريقتنا أسرع وأكثر مرونة.

المراجع

- [1] N. Kruger, M. Potzsch, and C.v.d. Malsburg, "Determination of Face Position and Pose with a Learned Representation Based on Labelled Graphs", *Image and Vision Computing*, Vol. 15, pp. 665-673, 1997.
- [2] K. Fukunaga, *Statistical Pattern Recognition*, New York: Academic Press, 1989.
- [3] T. Kohonen, *Self-Organization and Associative Memory*, Berlin: Springer-Verlag, 1988.
- [4] Y. S. Abu-Mostafa and D. Psaltis, "Optical Neural Computers", *Scientific American*, Vol. 256, pp. 88-95, 1987.
- [5] R. Brunelli and T. Poggio, "HyperBF Networks for Gender Classification", in *Proceedings, DARPA Image Understanding Workshop*, pp. 311-314, 1992.
- [6] T. Poggio and F. Girosi, "Networks for Approximation and Learning", *Proc. IEEE*, Vol. 78, pp. 1481-1497, 1990.
- [7] J. Buhmann, M. Lades, and C.v.d. Malsburg, "Size and Distortion Invariant Object Recognition by Hierarchical Graph Matching", in *Proceedings, International Joint Conference on Neural Networks*, pp. 411-416, 1990.
- [8] M. Ladesraj, J. Vorbruggen, J. Buhmann, J. Lange, C.v.d. Malsburg, and R. Wurtz, "Distortion Invariant Object Recognition in the Dynamic Link Architecture", *IEEE Trans, on Computers*, Vol. 42, pp. 300-311, 1993.
- [9] L. Wiskott, J.M. Fellous, N. Kruger, and C.v.d. Malsburg, "Face Recognition and Gender Determination", in *Proceedings, International Workshop on Automatic Face and Gesture Recognition*, pp. 92-97, 1995.
- [10] L. Wiskott, J.M. Fellous, and C.v.d. Malsburg, "Face Recognition by Elastic Bunch Graph Matching", *IEEE Trans, on Pattern Analysis and Machine Intelligence*, Vol. 19, pp. 775-779, 1997.
- [11] T. Maurer and C.v.d. Malsburg, "Single-View Based Recognition of Faces Rotated in Depth", in *Proceedings, International Workshop on Automatic Face and Gesture Recognition*, pp. 176-181, 1996.
- [12] M. J. Brooks and B. K. P. Horn, *Shape and Source from Shading*. Number AIM-820. Artificial Intelligence Lab., MIT press, 1985.
- [13] M. A. Al-Akkad and V. N. Kochuhanov, "A framework for building a general 3D model", Izhevsk, May 2003.
- [14] G.G. Gordon, "Face recognition based on depth and curvature features", In *Proc. IEEE Conf. Comput. Vis. Patt. Recogn.*, pp. 808-809, 1992.
- [15] A. C. Tsoi, S. Lawrence, C. L. Giles and A. D. Back, "Face Recognition: A Convolutional Neural Network Approach", *IEEE Transactions on Neural Networks, Special Issue on Neural Networks and Pattern Recognition*, 1998.
- [16] J. Okamoto, M. Milanova, P. E. Almeida, and M. G. Simoes, "Applications of Cellular Neural Networks for Shape from Shading Problem", 1999.

- [17] S. Gutta and H. Wechsler, "Face recognition using hybrid classifiers", 1997.
- [18] A. Pentland, T. Starner, N. Etcoff, A. Masoiu, O. Oliyide, and M. Turk, "Experiments with eigenfaces", In Looking at People Workshop, International Joint Conference on Artificial Intelligence 1993, Chambery, France, 1993.
- [19] R. Chellappa, C.L. Wilson, and S. Sirohey, "Human and machine recognition of faces: A survey", Proceedings of the IEEE, 83(5): 705–740, 1995.
- [20] X. Jia Extending the Feature Set for Automatic Face Recognition. University of Southampton, 1993.
- [21] Математический энциклопедический словарь. Под редакцией Ю. Б. Прохорова. М.: Сов. Энциклопедия, 1988. 847 с. ил.
- [22] M. Shah P. S. Tsai. Shape from Shading Using Linear Approximation. University of Central Florida, 1992.
- [23] Уоссермен Ф. Нейрокомпьютерная: Теория и практика. <http://www.neuropower.de/neurotech.zip>, 1992.
- [24] Looney C. G.: "Stabilization and Speedup of Convergence in Training Feed-forward Neural Networks", Neuro-computing, 10, 1996, pp. 7-31.
- [25] Fahlman S. E.: "An Empirical Study of Learning Speed in Back-Propagation Networks", Technical Report CMU-CS-88-162, Carnegie Mellon University, Pittsburgh PA, June 1988.

تاريخ ورود البحث إلى مجلة جامعة دمشق 25/3/2004